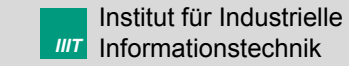


9. Zustandsschätzung

1

Prof. Dr.-Ing. F. Puente León – Methoden der Signalverarbeitung



Inhalt



9.1 Kalman-Filter

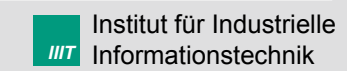
- Systemmodell
- Herleitung der Kalman-Gleichungen
- Interpretation und Beispiele
- Bestimmung der Varianz von Fehlersignalen
- Farbiges System- und Messrauschen

9.2 Erweitertes Kalman-Filter



9.1 Kalman-Filter

Prof. Dr.-Ing. F. Puente León – Methoden der Signalverarbeitung



9.1 Kalman-Filter



- Prozess- und Signaldarstellung im Zustandsraum
- Modellierung von Prozess und Messvorgang durch lineare Modelle
- Ziel: Rekursive Schätzung des Prozesszustandes
- 1. Schritt: Prädiktion des Zustandes mittels Prozessmodell
- 2. Schritt: Verbesserung der Schätzung basierend auf Messwerten
- Gütemaß: Norm des quadratischen Schätzfehlers
- Entwurf besonders geeignet für:
 - zeitvariante Vorgänge (insbesondere auch zeitvariante Systeme)
 - Mehrgrößensysteme in Zustandsraumdarstellung
 - numerische Berechnung im Zeitbereich

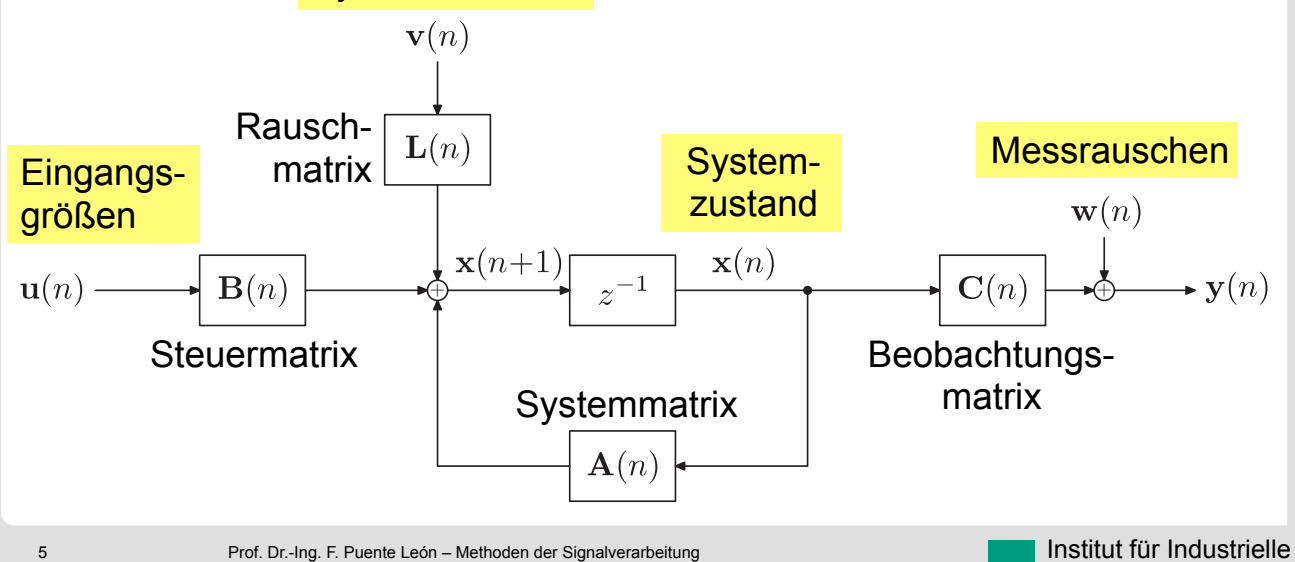
9.1.1 Systemmodell



Lineares, zeitdiskretes, zeitvariantes Systemmodell:

$$\mathbf{x}(n+1) = \mathbf{A}(n)\,\mathbf{x}(n) + \mathbf{B}(n)\,\mathbf{u}(n) + \mathbf{L}(n)\,\mathbf{v}(n)$$
$$\mathbf{y}(n) = \mathbf{C}(n)\,\mathbf{x}(n) + \mathbf{w}(n)$$

Systemrauschen



9.1.1 Systemmodell



Informationstechnik

Voraussetzungen

5

Deterministische Eingangsgröße $\mathbf{u}(n)$ (messbar)

Prof. Dr.-Ing. F. Puente León – Methoden der Signalverarbeitung

Systemrauschen $\mathbf{v}(n)$ und Messrauschen $\mathbf{w}(n)$ sind weiße, normalverteilte Rauschprozesse mit den Kovarianzmatrizen Q(n) bzw. R(n):

$$E\{\mathbf{v}(n)\} = \mathbf{0}$$
 $E\{\mathbf{v}(n)\,\mathbf{v}^{\mathrm{T}}(m)\} = \mathbf{Q}(n)\cdot\delta(n-m)$

$$E\{\mathbf{w}(n)\} = \mathbf{0} \qquad E\{\mathbf{w}(n)\,\mathbf{w}^{\mathrm{T}}(m)\} = \mathbf{R}(n) \cdot \delta(n-m)$$

Weitere Annahme: Messrauschen und Systemrauschen unkorreliert:

$$E\{\mathbf{v}(n)\,\mathbf{w}^{\mathrm{T}}(m)\} = \mathbf{0} \quad \forall m,n$$

Ferner werden der Erwartungswert des Anfangszustandes und die zugehörige Prädiktions-Kovarianzmatrix als bekannt angenommen:

$$\hat{\mathbf{x}}(0) = \mathrm{E}\{\mathbf{x}(0)\}, \qquad \hat{\mathbf{P}}(0) = \mathrm{E}\{(\mathbf{x}(0) - \hat{\mathbf{x}}(0))(\mathbf{x}(0) - \hat{\mathbf{x}}(0))^{\mathrm{T}}\}\$$

Unter diesen Voraussetzungen ist das Kalman-Filter optimal bezüglich der Summe der quadratischen Schätzfehler

9.1.2 Herleitung der Kalman-Gleichungen



Schätzkriterium: Minimierung des quadratischen Schätzfehlers:

$$\mathrm{E}\left\{\left\|\hat{\mathbf{x}}(n) - \mathbf{x}(n)\right\|^{2} \middle| \mathbf{y}(0), \dots, \mathbf{y}(n)\right\} = \mathrm{E}\left\{\left\|\hat{\mathbf{x}}(n) - \mathbf{x}(n)\right\|^{2} \middle| \mathbf{Y}(n)\right\} \to \min$$

- 1. Schritt: Prädiktion des Systemzustandes mittels Systemmodell
- Annahme einer "Statistik 2. Ordnung": Erwartungswert und Varianz beschreiben die **A-priori-Dichte** $p(\mathbf{x}(n+1) | \mathbf{Y}(n))$ des prädizierten Zustandes vollständig (\rightarrow Normalverteilung):

$$\mathbf{x}^*(n+1) = \mathrm{E}\left\{\mathbf{x}(n+1) \middle| \mathbf{Y}(n)\right\} \quad \text{und}$$

$$\mathbf{P}^*(n+1) = \mathrm{E}\left\{\left(\mathbf{x}(n+1) - \mathbf{x}^*(n+1)\right) \left(\mathbf{x}(n+1) - \mathbf{x}^*(n+1)\right)^{\mathrm{T}} \middle| \mathbf{Y}(n)\right\}$$

- 2. Filterschritt: Verbesserung der Schätzung durch neuen Messwert
- Annahme: **A-posteriori-Dichte** $p(\mathbf{x}(n+1)|\mathbf{Y}(n+1))$ auch normalverteilt:

$$\hat{\mathbf{x}}(n+1) = \mathrm{E}\left\{\mathbf{x}(n+1) \left| \mathbf{Y}(n+1) \right.\right\}$$

$$\hat{\mathbf{P}}(n+1) = \mathrm{E}\left\{\left.\left(\mathbf{x}(n+1) - \hat{\mathbf{x}}(n+1)\right) \left(\mathbf{x}(n+1) - \hat{\mathbf{x}}(n+1)\right)^{\mathrm{T}} \right| \mathbf{Y}(n+1)\right\}$$

Prof. Dr.-Ing. F. Puente León – Methoden der Signalverarbeitung

Institut für Industrielle Informationstechnik

9.1.2 Herleitung der Kalman-Gleichungen



Prädiktionsschritt

Prädiktions-Schätzwert:

$$\mathbf{x}^{*}(n+1) = \mathrm{E}\{\mathbf{x}(n+1)\big|\mathbf{Y}(n)\}\$$

$$= \mathrm{E}\{\mathbf{A}(n)\,\mathbf{x}(n) + \mathbf{B}(n)\,\mathbf{u}(n) + \mathbf{L}(n)\,\mathbf{v}(n)\big|\mathbf{Y}(n)\}\$$

$$= \mathbf{A}(n)\,\underbrace{\mathrm{E}\{\mathbf{x}(n)\big|\mathbf{Y}(n)\}}_{\hat{\mathbf{x}}(n)} + \mathbf{B}(n)\,\mathbf{u}(n) + \mathbf{L}(n)\,\underbrace{\mathrm{E}\{\mathbf{v}(n)\big|\mathbf{Y}(n)\}}_{\mathbf{0}}\$$

$$\mathbf{x}^*(n+1) = \mathbf{A}(n)\,\hat{\mathbf{x}}(n) + \mathbf{B}(n)\,\mathbf{u}(n)$$

Mit der Zustandsdifferenzengl. ergibt sich der Prädiktions-Schätzfehler zu:

$$\mathbf{x}(n+1) - \mathbf{x}^*(n+1) = \mathbf{A}(n)(\mathbf{x}(n) - \hat{\mathbf{x}}(n)) + \mathbf{L}(n)\mathbf{v}(n)$$

Die Prädiktions-Kovarianzmatrix lautet damit:

$$\begin{aligned} \mathbf{P}^*(n+1) &= \mathrm{E}\Big\{ \Big(\mathbf{x}(n+1) - \mathbf{x}^*(n+1) \Big) \Big(\mathbf{x}(n+1) - \mathbf{x}^*(n+1) \Big)^{\mathrm{T}} \Big| \mathbf{Y}(n) \Big\} \\ &= \mathrm{E}\Big\{ \Big(\mathbf{A}(n) (\mathbf{x}(n) - \hat{\mathbf{x}}(n)) + \mathbf{L}(n) \mathbf{v}(n) \Big) \Big(\mathbf{A}(n) (\mathbf{x}(n) - \hat{\mathbf{x}}(n)) + \mathbf{L}(n) \mathbf{v}(n) \Big)^{\mathrm{T}} \Big| \mathbf{Y}(n) \Big\} \end{aligned}$$

9.1.2 Herleitung der Kalman-Gleichungen



$$\mathbf{P}^*(n+1) = \mathrm{E}\Big\{ \Big(\mathbf{x}(n+1) - \mathbf{x}^*(n+1)\Big) \Big(\mathbf{x}(n+1) - \mathbf{x}^*(n+1)\Big)^{\mathrm{T}} \Big| \mathbf{Y}(n) \Big\}$$
$$= \mathrm{E}\Big\{ \Big(\mathbf{A}(n)(\mathbf{x}(n) - \hat{\mathbf{x}}(n)) + \mathbf{L}(n)\mathbf{v}(n)\Big) \Big(\mathbf{A}(n)(\mathbf{x}(n) - \hat{\mathbf{x}}(n)) + \mathbf{L}(n)\mathbf{v}(n)\Big)^{\mathrm{T}} \Big| \mathbf{Y}(n) \Big\}$$

Prädiktions-Kovarianzmatrix:

$$\mathbf{P}^{*}(n+1) = \mathbf{A}(n) \cdot \underbrace{\mathbf{E} \left\{ (\mathbf{x}(n) - \hat{\mathbf{x}}(n)) (\mathbf{x}(n) - \hat{\mathbf{x}}(n))^{\mathrm{T}} \middle| \mathbf{Y}(n) \right\}}_{= \hat{\mathbf{P}}(n)} \cdot \mathbf{A}^{\mathrm{T}}(n)$$

$$+ \mathbf{A}(n) \cdot \underbrace{\mathbf{E} \left\{ (\mathbf{x}(n) - \hat{\mathbf{x}}(n)) \mathbf{v}^{\mathrm{T}}(n) \middle| \mathbf{Y}(n) \right\}}_{= [\mathbf{0}, \dots, \mathbf{0}]} \cdot \mathbf{L}^{\mathrm{T}}(n)$$

$$+ \mathbf{L}(n) \cdot \underbrace{\mathbf{E} \left\{ \mathbf{v}(n) (\mathbf{x}(n) - \hat{\mathbf{x}}(n))^{\mathrm{T}} \middle| \mathbf{Y}(n) \right\}}_{= [\mathbf{0}, \dots, \mathbf{0}]} \cdot \mathbf{A}^{\mathrm{T}}(n)$$

$$+ \mathbf{L}(n) \cdot \underbrace{\mathbf{E} \left\{ \mathbf{v}(n) \mathbf{v}^{\mathrm{T}}(n) \middle| \mathbf{Y}(n) \right\}}_{= \mathbf{Q}(n)} \cdot \mathbf{L}^{\mathrm{T}}(n)$$

Prof. Dr.-Ing. F. Puente León – Methoden der Signalverarbeitung

Institut für Industrielle Informationstechnik

9.1.2 Herleitung der Kalman-Gleichungen



Filterschritt (Innovation)

Ansatz: Linearer Schätzer, der Prädiktionsschätzwert $\mathbf{x}^*(n+1)$ und aktuellen Messwert $\mathbf{y}(n+1)$ gewichtet summiert:

$$\hat{\mathbf{x}}(n+1) = \mathbf{K}^*(n+1)\,\mathbf{x}^*(n+1) + \mathbf{K}(n+1)\,\mathbf{y}(n+1) \tag{24}$$

Bei Erwartungstreue sind beide Verstärkungsmatrizen voneinander abhängig. Durch Einsetzen der Ausgangsgleichung in (24) und Erwartungswertbildung ergibt sich bei Forderung von Erwartungstreue (vgl. Folie 6)

$$E{\hat{\mathbf{x}}(n)} = E{\mathbf{x}(n)} \Rightarrow E{\hat{\mathbf{x}}(n+1)} = E{\mathbf{x}(n+1)}$$

ein Schätzer der folgenden Form [KSW08]:

$$\hat{\mathbf{x}}(n+1) = \mathbf{x}^*(n+1) + \mathbf{K}(n+1) \left(\mathbf{y}(n+1) - \underbrace{\mathbf{C}(n+1) \, \mathbf{x}^*(n+1)}_{\mathbf{y}^*(n+1)} \right)$$

Filterschätzwert: Korrektur des Prädiktionsschätzwertes $\mathbf{x}^*(n+1)$ durch die mit $\mathbf{K}(n+1)$ gewichtete Differenz des gemessenen Ausgangswertes $\mathbf{y}(n+1)$ und des prädizierten Ausgangswertes $\mathbf{C}(n+1)\,\mathbf{x}^*(n+1)$

9.1.2 Herleitung der Kalman-Gleichungen



Für die Filter-Kovarianzmatrix ergibt sich damit die folgende Rekursionsgleichung (Details siehe [KSW08]):

$$\hat{\mathbf{P}}(n+1) = \mathbf{E}\left\{ \left(\mathbf{x}(n+1) - \hat{\mathbf{x}}(n+1)\right) \left(\mathbf{x}(n+1) - \hat{\mathbf{x}}(n+1)\right)^{\mathrm{T}} \middle| \mathbf{Y}(n+1) \right\}$$
$$= \left(\mathbf{I} - \mathbf{K}(n+1) \mathbf{C}(n+1)\right) \cdot \mathbf{P}^{*}(n+1) \cdot \left(\mathbf{I} - \mathbf{K}(n+1) \mathbf{C}(n+1)\right)^{\mathrm{T}}$$
$$+ \mathbf{K}(n+1) \mathbf{R}(n+1) \mathbf{K}^{\mathrm{T}}(n+1)$$

Bestimmung der Verstärkungsmatrix

Wahl einer optimalen Verstärkungsmatrix K durch Minimierung des quadratischen Schätzfehlers (→ Kalman-Filter ist LS-Schätzer):

$$E\left\{ \left(\mathbf{x}(n+1) - \hat{\mathbf{x}}(n+1) \right)^{\mathrm{T}} \left(\mathbf{x}(n+1) - \hat{\mathbf{x}}(n+1) \right) \middle| \mathbf{Y}(n+1) \right\} \rightarrow \min$$

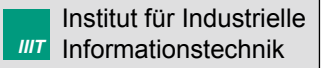
$$\Leftrightarrow \operatorname{Spur} \left(\hat{\mathbf{P}}(n+1) \right) \rightarrow \min$$

■ Durch Ableiten nach $\mathbf{K}(n+1)$ und Nullsetzen folgt [KSW08]:

$$\mathbf{K}(n+1) = \mathbf{P}^*(n+1) \mathbf{C}^{\mathrm{T}}(n+1) \left(\mathbf{C}(n+1) \mathbf{P}^*(n+1) \mathbf{C}^{\mathrm{T}}(n+1) + \mathbf{R}(n+1) \right)^{-1}$$

11

Prof. Dr.-Ing. F. Puente León – Methoden der Signalverarbeitung



9.1.2 Herleitung der Kalman-Gleichungen



Zusammenfassung

Prädiktion

$$\mathbf{x}^*(n+1) = \mathbf{A}(n)\,\hat{\mathbf{x}}(n) + \mathbf{B}(n)\,\mathbf{u}(n)$$
$$\mathbf{P}^*(n+1) = \mathbf{A}(n)\,\hat{\mathbf{P}}(n)\,\mathbf{A}^{\mathrm{T}}(n) + \mathbf{L}(n)\,\mathbf{Q}(n)\,\mathbf{L}^{\mathrm{T}}(n)$$

Verstärkung

$$\mathbf{K}(n+1) = \mathbf{P}^*(n+1)\mathbf{C}^{\mathrm{T}}(n+1)$$
$$\cdot \left(\mathbf{C}(n+1)\mathbf{P}^*(n+1)\mathbf{C}^{\mathrm{T}}(n+1) + \mathbf{R}(n+1)\right)^{-1}$$

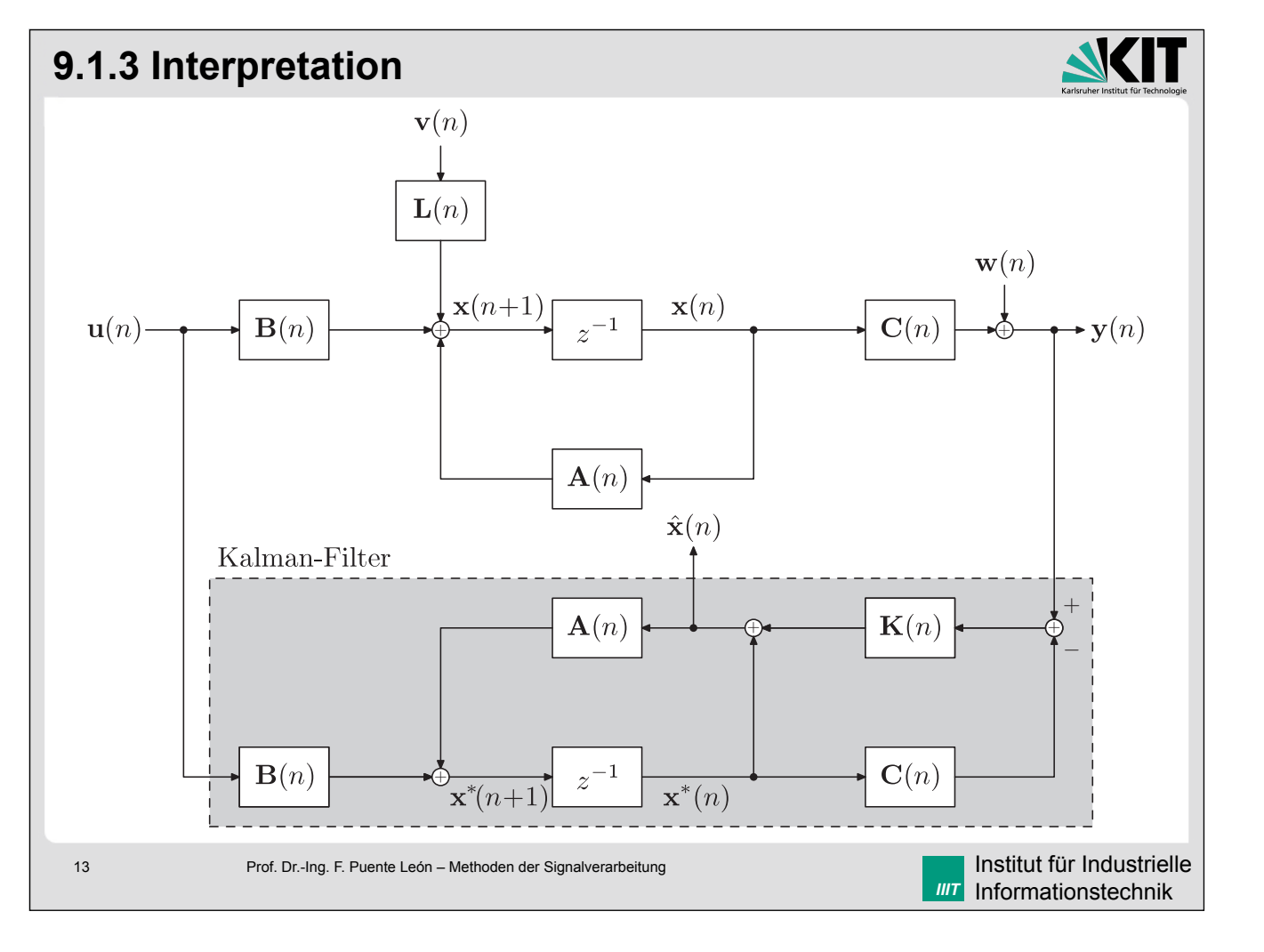
Filterung

$$\hat{\mathbf{x}}(n+1) = \mathbf{x}^*(n+1) + \mathbf{K}(n+1) (\mathbf{y}(n+1) - \mathbf{C}(n+1) \mathbf{x}^*(n+1))$$

$$\hat{\mathbf{P}}(n+1) = (\mathbf{I} - \mathbf{K}(n+1) \mathbf{C}(n+1)) \cdot \mathbf{P}^*(n+1) \cdot (\mathbf{I} - \mathbf{K}(n+1) \mathbf{C}(n+1))^{\mathrm{T}}$$

$$+ \mathbf{K}(n+1) \mathbf{R}(n+1) \mathbf{K}^{\mathrm{T}}(n+1)$$

$$= (\mathbf{I} - \mathbf{K}(n+1) \mathbf{C}(n+1)) \cdot \mathbf{P}^*(n+1)$$



9.1.3 Interpretation



Diskussion

Zur rekursiven Lösung der Gleichungen sind die Startwerte erforderlich; sind diese nicht bekannt, so kann die folgende Wahl getroffen werden:

$$\hat{\mathbf{x}}(0) = \mathbf{0}$$
 und $\hat{\mathbf{P}}(0) = \sigma_{\tilde{x}}^2 \cdot \mathbf{I}, \quad \sigma_{\tilde{x}}^2 \to \infty$

- Das Kalman-Filter hat die gleiche Struktur wie ein linearer Zustandsbeobachter, aber es bestehen wesentliche Unterschiede:
 - Anwendung auf zeitvariante Systeme dank der zeitlich veränderlichen Verstärkungsmatrix K möglich
 - Verstärkungsmatrix berücksichtigt zeitlich veränderliche stochastische Eigenschaften des Systemrauschens v und des Messrauschens w mittels der entsprechenden Kovarianzmatrizen Q bzw. R
 - Daher eignet sich das Kalman-Filter zur Zustandsschätzung bei unzuverlässigen Messdaten und Störungen am Systemeingang oder bei einem ungenauen Systemmodell
 - Bei zeitinvarianten Systemen und stationären Rauschprozessen konvergiert die Verstärkungsmatrix gegen einen konstanten Wert

9.1.3 Interpretation



■ Filter-Schätzwert bei SISO-System:

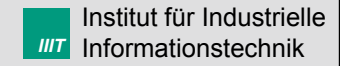
$$\hat{x}(n+1) = x^*(n+1) + K(n+1) \left(y(n+1) - C(n+1) x^*(n+1) \right)$$

$$K(n+1) = \frac{P^*(n+1)C(n+1)}{C^2(n+1)P^*(n+1) + R(n+1)}$$

- Unzuverlässige Messdaten: $R(n+1) \gg Q(n)$
 - Term R(n+1) im Nenner von K(n+1) dominiert $\Rightarrow K(n+1) \approx 0$
 - Filterschätzwert: $\hat{x}(n+1) \approx x^*(n+1) = A(n)\hat{x}(n) + B(n)u(n)$
 - Messwerte haben keinen Einfluss, Filter verlässt sich nur auf Modell
- **Ungenaues Modell** (starkes Systemrauschen): $Q(n) \gg R(n+1)$
 - Großes $Q(n) \Rightarrow \text{großes } P^*(n+1) \Rightarrow K(n+1) \approx 1/C(n+1)$
 - Filterschätzwert: $\hat{x}(n+1) = y(n+1)/C(n+1)$
 - Schätzwert berechnet sich allein aus Messwert

15

Prof. Dr.-Ing. F. Puente León – Methoden der Signalverarbeitung



9.1.3 Interpretation



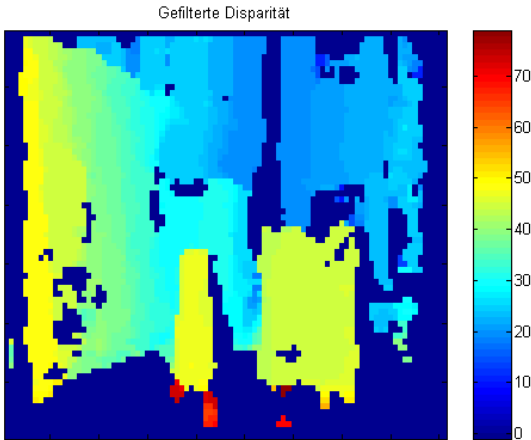
Beispiel: Abstandsschätzung mit Stereosensor

- Umgebungserfassung für mobile Roboter
- Horizontale Verschiebung d von Hindernissen zwischen beiden Bildern (Disparität, Parallaxe) umgekehrt proportional zum Hindernisabstand x:

$$\frac{1}{d} = c x$$





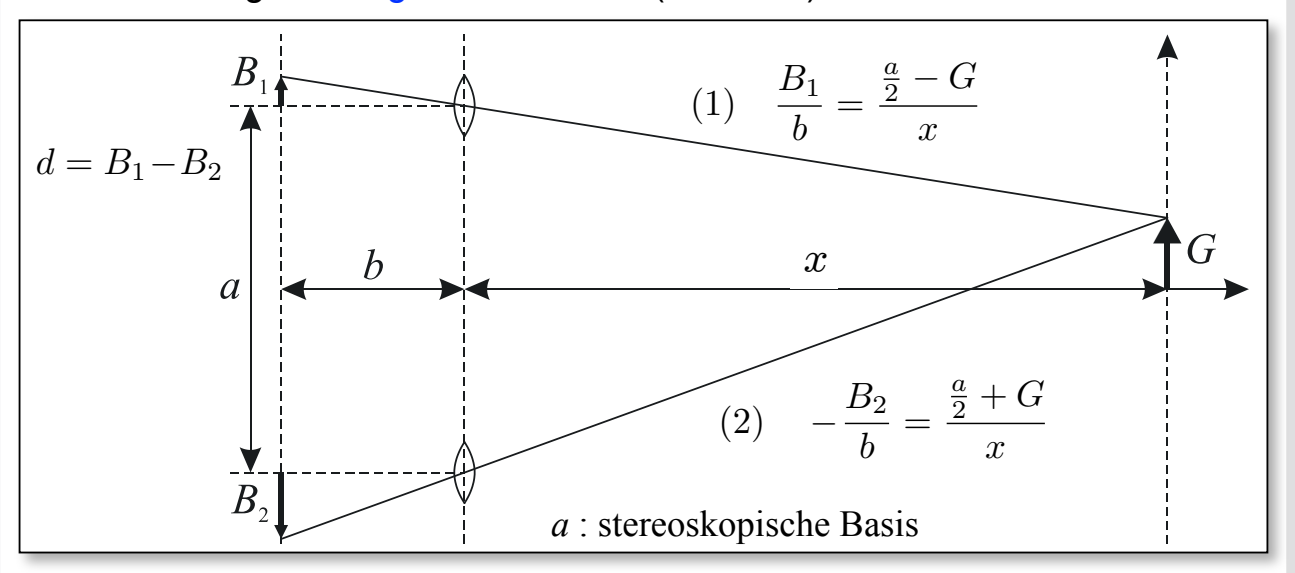


9.1.3 Interpretation



Prinzip des Stereosensors

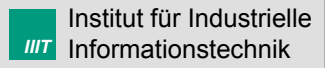
- Betrachtung eines Objektpunktes aus 2 verschiedenen Blickwinkeln
- Berechnung der Gegenstandsweite (\rightarrow Relief) aus der Parallaxe d



$$(1) + (2) : \quad x = \frac{ab}{d}$$

17

Prof. Dr.-Ing. F. Puente León – Methoden der Signalverarbeitung



9.1.3 Interpretation



- lacktriangle Die eigene Beschleunigung u des Roboters in Längsrichtung wird mit einem Beschleunigungssensor erfasst
- Insgesamt ergeben sich mit den Definitionen

$$\mathbf{x}(n) = [x(n)], \quad \mathbf{u}(n) = [u], \quad \mathbf{v}(n) = [v(n)], \quad \mathbf{w}(n) = [w(n)],$$

$$\mathbf{y}(n) = \left\lceil \frac{1}{d} \right\rceil \,, \quad \mathbf{A} = [1] \;, \quad \mathbf{B} = \left\lceil -\frac{t_\mathrm{A}^2}{2} \right\rceil \,, \quad \mathbf{C} = [c] \qquad \text{ und } \qquad \mathbf{L} = [1]$$

die Zustandsgleichung:

$$x(n+1) = x(n) - \frac{t_{A}^{2}}{2} \cdot u(n) + v(n)$$

und die Ausgangsgleichung:

$$y(n) = c \cdot x(n) + w(n)$$

- Bei unzuverlässigen Messungen wird der letzte Schätzwert um die vom Roboter infolge der Beschleunigung u zurückgelegte Strecke korrigiert
- lacktriangle Bei starkem Systemrauschen wird x mittels der Messung y berechnet

9.1.4 Bestimmung der Varianz von Fehlersignalen



- Kenntnis der Kovarianzmatrizen Q, R der Rauschprozesse erforderlich
- Selten durch theoretische Überlegungen bestimmbar
- Ist das fehlerbehaftete Signal messbar, erfolgt jedoch im Allgemeinen eine Varianzschätzung
- Gleitender Mittelwert als Schätzwert des Erwartungswertes:

$$\bar{\mathbf{y}}(n) = \frac{1}{N} \cdot \sum_{i=0}^{N-1} \mathbf{y}(n-i)$$

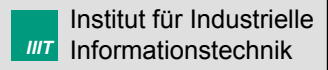
Geschätzte Kovarianzmatrix:

$$\mathbf{R}(n) \approx \frac{1}{N-1} \cdot \sum_{i=0}^{N-1} (\mathbf{y}(n-i) - \bar{\mathbf{y}}(n)) \cdot (\mathbf{y}(n-i) - \bar{\mathbf{y}}(n))^{\mathrm{T}}$$

- Auch häufig in der Praxis: Heuristisches Einstellen der Kovarianzen als "Tuning-Parameter"
- Dieser Ansatz gestattet das Einbringen von Wissen in die Schätzung

19

Prof. Dr.-Ing. F. Puente León – Methoden der Signalverarbeitung



9.1.5 Farbiges System- und Messrauschen



- Häufig ist das Systemrauschen nicht weiß
- Zur Modellierung von farbigem Rauschen wird ein eigener Markov-Prozess angesetzt und der Zustandsvektor entsprechend erweitert:

$$\mathbf{x}_2(n+1) = \mathbf{A}_2(n)\,\mathbf{x}_2(n) + \mathbf{L}_2(n)\,\mathbf{v}(n)$$

 $\mathbf{x}_2(n)$: Farbiges Rauschen

 $\mathbf{v}(n)$: Weißes Rauschen

Die Zustandsgleichung lautet dann:

$$\mathbf{x}_1(n+1) = \mathbf{A}_1(n)\,\mathbf{x}_1(n) + \mathbf{B}(n)\,\mathbf{u}(n) + \mathbf{L}_1(n)\,\mathbf{x}_2(n)$$

■ Mit dem Markov-Prozess erhält man ein erweitertes Zustandsraummodell:

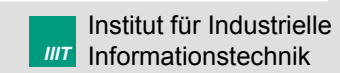
$$\begin{bmatrix} \mathbf{x}_1(n+1) \\ \mathbf{x}_2(n+1) \end{bmatrix} = \begin{bmatrix} \mathbf{A}_1(n) & \mathbf{L}_1(n) \\ \mathbf{0} & \mathbf{A}_2(n) \end{bmatrix} \begin{bmatrix} \mathbf{x}_1(n) \\ \mathbf{x}_2(n) \end{bmatrix} + \begin{bmatrix} \mathbf{B}(n) \\ \mathbf{0} \end{bmatrix} \mathbf{u}(n) + \begin{bmatrix} \mathbf{0} \\ \mathbf{L}_2 \end{bmatrix} \mathbf{v}(n)$$
$$\mathbf{y}(n) = \begin{bmatrix} \mathbf{C}(n) & \mathbf{0}^{\mathrm{T}} \end{bmatrix} \begin{bmatrix} \mathbf{x}_1(n) \\ \mathbf{x}_2(n) \end{bmatrix} + \mathbf{w}(n)$$

Ist auch das Messrauschen farbig, so ist der Zustandsraum entsprechend zu erweitern



9.2 Erweitertes Kalman-Filter

Prof. Dr.-Ing. F. Puente León – Methoden der Signalverarbeitung



9.2 Erweitertes Kalman-Filter



- Bisher: Lineares Systemmodell
- Jetzt: Allgemeines nichtlineares Systemmodell:

$$\mathbf{x}(n+1) = \mathbf{f}(\mathbf{x}(n), \mathbf{u}(n), \mathbf{v}(n)),$$

$$\mathbf{y}(n+1) = \mathbf{g}(\mathbf{x}(n), \mathbf{u}(n), \mathbf{w}(n))$$

Rauschprozesse weiterhin weiß, mittelwertfrei und normalverteilt:

$$E\left\{\mathbf{v}(n)\cdot\mathbf{v}^{\mathrm{T}}(m)\right\} = \mathbf{Q}(n)\cdot\delta(n-m),$$

$$E\left\{\mathbf{w}(n)\cdot\mathbf{w}^{\mathrm{T}}(m)\right\} = \mathbf{R}(n)\cdot\delta(n-m)$$

Linearisierung der Systemfunktion \mathbf{f} um den Arbeitspunkt, wobei für $\mathbf{x}(n)$ der aktuelle **Schätzwert** $\hat{\mathbf{x}}(n)$ und für das Systemrauschen $\mathbf{v}(n)$ wegen der Mittelwertfreiheit null gewählt wird:

$$\mathbf{x}(n+1) \approx \mathbf{f}(\hat{\mathbf{x}}(n), \mathbf{u}(n), \mathbf{0}) + \mathbf{A_f}(\mathbf{x}(n) - \hat{\mathbf{x}}(n)) + \mathbf{L_f}(n) \cdot \mathbf{v}(n)$$

$$\text{mit} \qquad \mathbf{A_f} = \left. \frac{\partial \mathbf{f}}{\partial \mathbf{x}} \right|_{(\hat{\mathbf{x}}(n),\,\mathbf{u}(n),\,\mathbf{0})} \qquad \text{und} \qquad \mathbf{L_f} = \left. \frac{\partial \mathbf{f}}{\partial \mathbf{v}} \right|_{(\hat{\mathbf{x}}(n),\,\mathbf{u}(n),\,\mathbf{0})}$$

9.2 Erweitertes Kalman-Filter



Linearisierung der Ausgangsfunktion g um aktuell **prädizierten Schätzwert** $\mathbf{x}^*(n)$ (dabei wird $\mathbf{w}(n)$ ebenfalls zu null gesetzt):

$$\mathbf{y}(n) \approx \mathbf{g}(\mathbf{x}^*(n), \mathbf{u}(n), \mathbf{0}) + \mathbf{C}_{\mathbf{g}}(\mathbf{x}(n) - \mathbf{x}^*(n)) + \mathbf{L}_{\mathbf{g}}(n) \cdot \mathbf{w}(n)$$

$$\text{mit} \qquad \mathbf{C_g} = \left. \frac{\partial \mathbf{g}}{\partial \mathbf{x}} \right|_{(\mathbf{x}^*(n),\,\mathbf{u}(n),\,\mathbf{0})} \qquad \text{und} \qquad \mathbf{L_g} = \left. \frac{\partial \mathbf{g}}{\partial \mathbf{w}} \right|_{(\mathbf{x}^*(n),\,\mathbf{u}(n),\,\mathbf{0})}$$

Prädiktionsschritt: $\mathbf{x}^*(n+1) = \mathbf{f}(\hat{\mathbf{x}}(n), \mathbf{u}(n), \mathbf{0})$

$$\mathbf{P}^*(n+1) = \mathbf{A_f}(n)\,\hat{\mathbf{P}}(n)\,\mathbf{A_f}^{\mathrm{T}}(n) + \mathbf{L_f}(n)\,\mathbf{Q}(n)\,\mathbf{L_f}^{\mathrm{T}}(n)$$

Verstärkung und Filterschritt:

$$\mathbf{K}(n+1) = \mathbf{P}^*(n+1) \mathbf{C}_{\mathbf{g}}^{\mathrm{T}}(n+1) \left(\mathbf{C}_{\mathbf{g}}(n+1) \mathbf{P}^*(n+1) \mathbf{C}_{\mathbf{g}}^{\mathrm{T}}(n+1) + \mathbf{L}_{\mathbf{g}}(n+1) \mathbf{R}(n+1) \mathbf{L}_{\mathbf{g}}^{\mathrm{T}}(n+1) \right)^{-1}$$

$$\hat{\mathbf{x}}(n+1) = \mathbf{x}^*(n+1) + \mathbf{K}(n+1) \left(\mathbf{y}(n+1) - \mathbf{g} \left(\mathbf{x}^*(n+1), \mathbf{u}(n+1), \mathbf{0} \right) \right)$$

$$\hat{\mathbf{P}}(n+1) = \left(\mathbf{I} - \mathbf{K}(n+1) \mathbf{C}_{\mathbf{g}}(n+1) \right) \cdot \mathbf{P}^*(n+1)$$

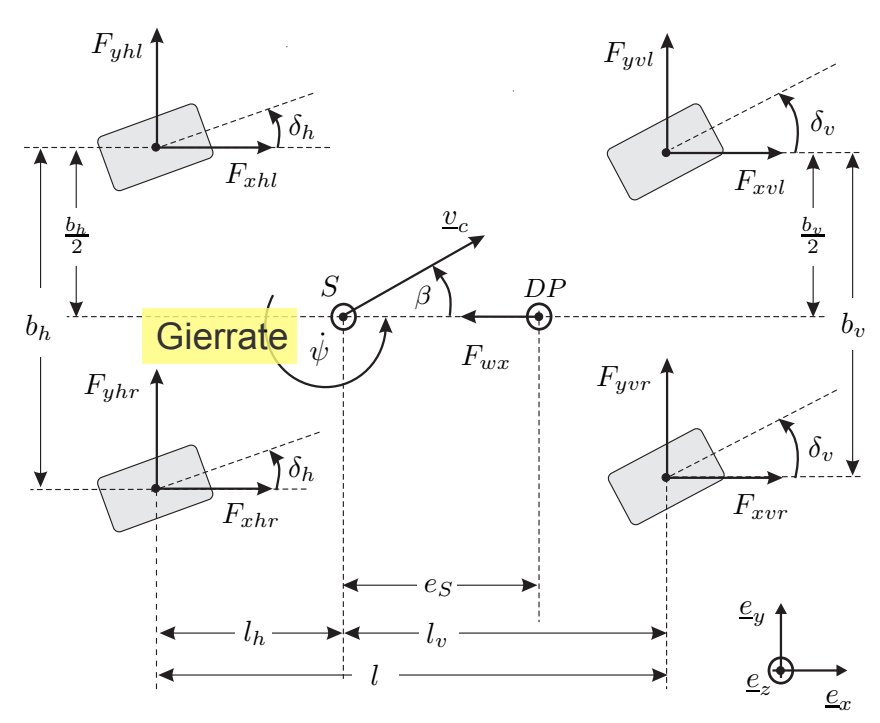
Prof. Dr.-Ing. F. Puente León – Methoden der Signalverarbeitung

Institut für Industrielle Informationstechnik

9.2 Erweitertes Kalman-Filter



Beispiel: Schätzung des Schwimmwinkels β eines nichtlinearen Zweispurmodells



23

9.2 Erweitertes Kalman-Filter



- Schwimmwinkel β ist eine zentrale Größe der Fahrzeugdynamik und erlaubt Aussagen über Stabilität des Fahrzeugs
- Wird der Schwimmwinkel sehr groß oder wächst er stark an, wird die Fahrsituation kritisch
- Modellbildung über Kräfte- und Momentengleichgewicht:

$$\sum_{k} \mathbf{F}_{k} = m \cdot \mathbf{a} \,,$$

$$\sum_k \mathbf{r}_k imes \mathbf{F}_k = \mathbf{J}_z \cdot \ddot{oldsymbol{\psi}}$$

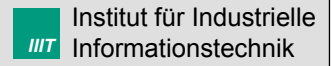
Nichtlineares Zustandsraummodell: $\dot{\mathbf{x}} = \mathbf{f}(\mathbf{x}, \mathbf{u})$, $\mathbf{v} = \mathbf{g}(\mathbf{x}, \mathbf{u})$

$$\mathbf{x} = \begin{bmatrix} v & \beta & \dot{\psi} \end{bmatrix}^{\mathrm{T}} \qquad \mathbf{u} = \begin{bmatrix} F_{lvl} & F_{lvr} & F_{lhl} & F_{lhr} & \delta_v & \delta_h \end{bmatrix}^{\mathrm{T}}$$

$$\mathbf{y} = \begin{bmatrix} \omega_{vl} & \omega_{vr} & \omega_{hl} & \omega_{hr} & a_y & \dot{\psi} \end{bmatrix}^{\mathrm{T}} = \mathbf{g}(\mathbf{x}, \mathbf{u})$$

O.F.

Prof. Dr.-Ing. F. Puente León – Methoden der Signalverarbeitung

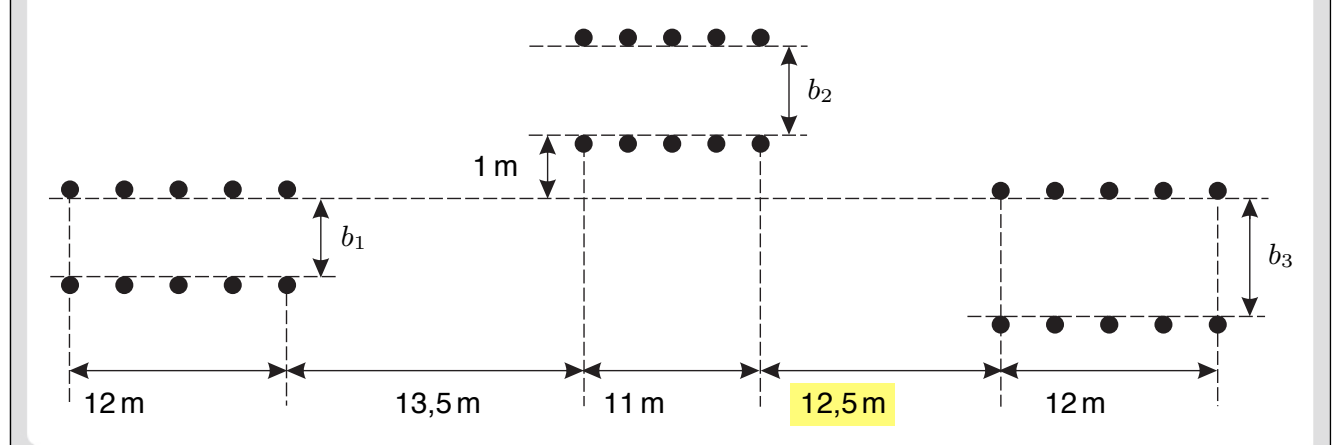


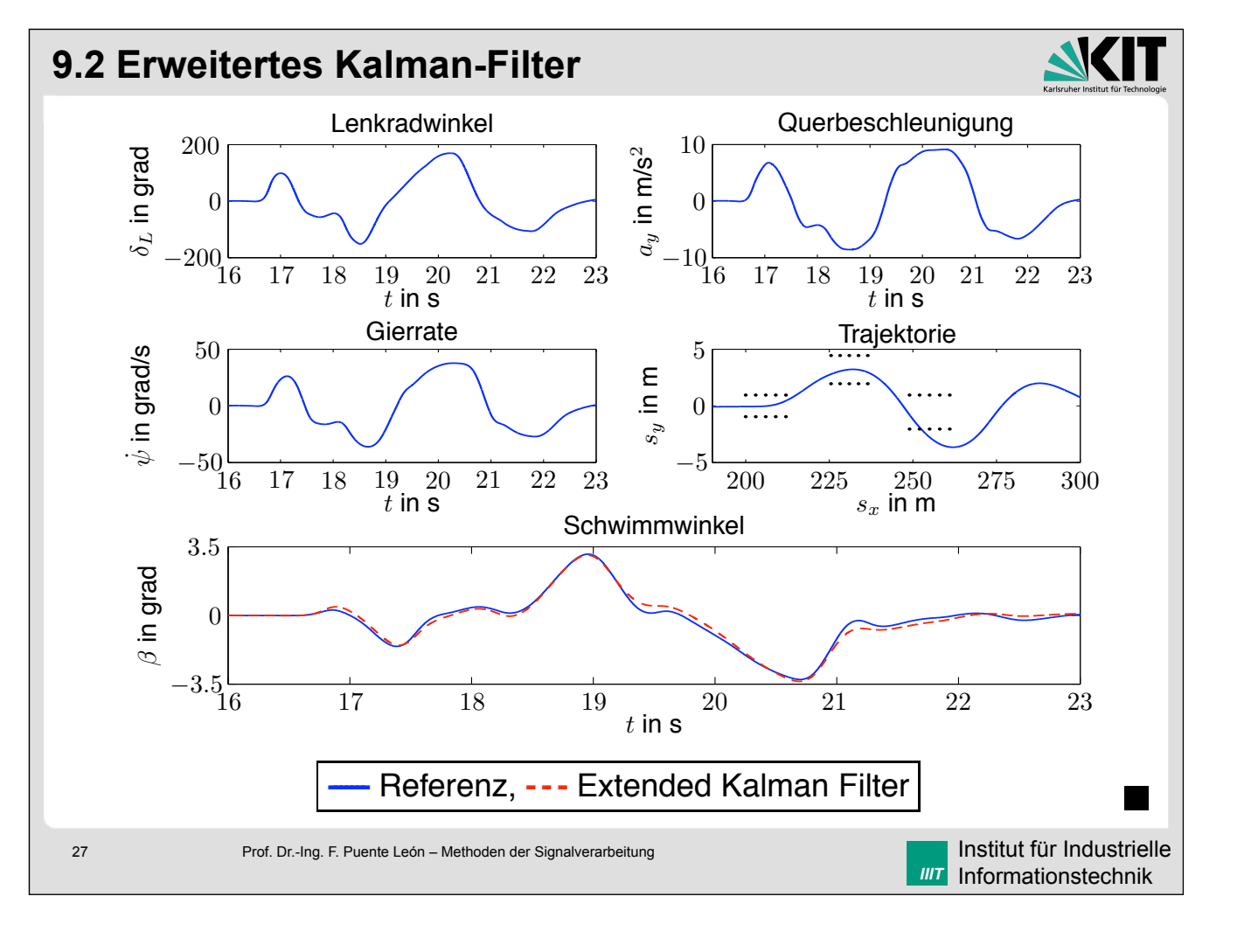
9.2 Erweitertes Kalman-Filter



- Zur Validierung des EKF-Einsatzes wird ein Fahrmanöver betrachtet
- Es soll der Schwimmwinkel während eines Ausweichmanövers geschätzt werden
- Um möglichst hohe Querbeschleunigungen gegen Ende des Manövers zu erreichen, steht dem Fahrer beim Wechsel zurück auf die ursprüngliche Spur ein Meter weniger zur Verfügung

Fahrmanöver nach ISO 3888-2









Evaluierungsergebnisse 2012/13

29

Prof. Dr.-Ing. F. Puente León – Methoden der Signalverarbeitung

